

E7

## レーザーパルスによる宇宙空間力積発生 データベース構築に向けて

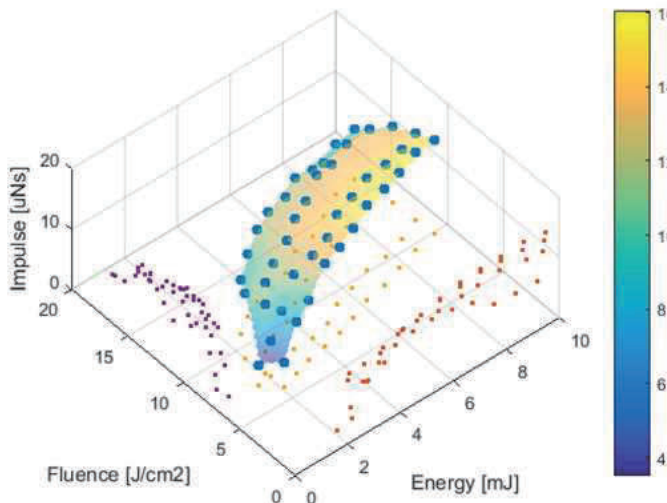
Towards Database Development of In-Space Impulse Performance Generated by Laser Pulses

○佐宗章弘, Bin Wang, 鶴田久, 片桐祐介, Oskar Dondelewski (名大)

○Akihiro Sasoh, Bin Wang, Hisashi Tsuruta, Yusuke Takagiri  
& Oskar Dondelewski (Nagoya Univ.)

宇宙空間での遠隔的な力積発生法として、現在唯一実用可能なのは、レーザーアブレーションの利用によるものである。我々は、実験室にて、ターゲット条件(材質、形状、表面状態など)とレーザーパルス照射条件(波長、エネルギー、照射面積、繰返しパルス数、繰返しパルス周波数等)を変化させて、力積特性評価実験を行っている。図は、アルミに対して波長  $1 \mu\text{m}$  のレーザーパルスを 200 回繰返して照射したときの力積特性をまとめたもので、従来フルーエンス(照射レーザーエネルギー密度)のみの関数とされていた力積特性が、パルスエネルギーそのものも独立変数として評価されるべきであることを示唆した結果である。発表では、関連研究の総括と最新の結果について、述べる。

We are conducting in-space remote impulse measurements with various materials and their conditions and laser pulse conditions. The figure suggests that there are two independent control parameters to characterize the impulse performance.



JAXA 第7回スペースデブリワークショップ  
October 16-20, 2016

# Towards Database Development of In-Space Impulse Performance Generated by Laser Pulses

**Akihiro Sasoh, Bin Wang, Hisashi Tsuruta,  
Yusuke Katagiri and Oskar Dondelewski**

**Department of Aerospace Engineering  
Nagoya University, Nagoya, Japan**

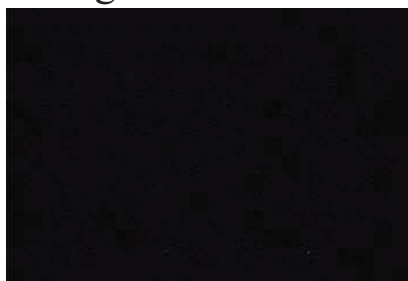


Parts of this research was supported by Grants-in-Aid for Scientific Research –KAKENHI, Japan Society for Promotion of Science, 16H02426  
(PI: Dr. Toshikazu Ebisuzaki).

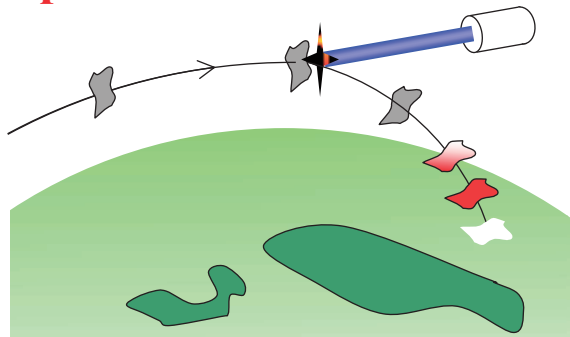
# Laser Propulsion: Cheap & Fast Solution for Remote Impulse Generation

## Launch by laser power

In gas-filled tube



## Space debris deorbit



## Ablator on tube wall



## Detumbling



3

## Impulse Generation by Laser-Pulse Ablation with Influential Parameters

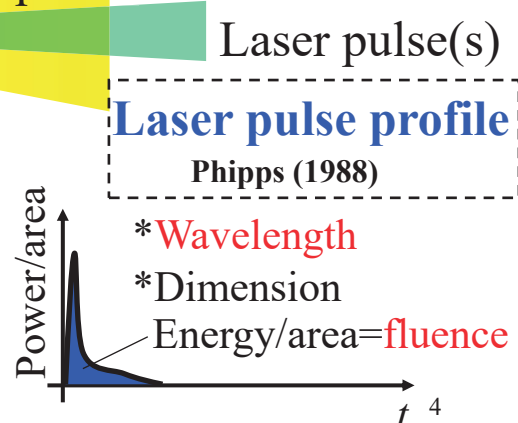
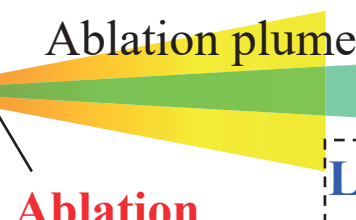
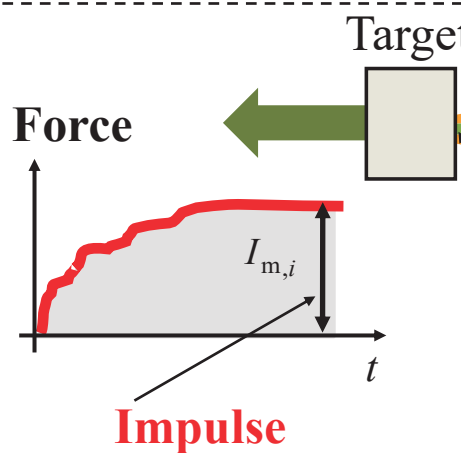
### Target characteristics

- Material
- Geometry
- Dimension

Phipps (1988)  
Pakhomov et al. (2002)  
Tsuruta et al. (2015)

### Ambient gas

Lin et al. (2004)  
Watanabe et al. (2006)



### Laser pulse profile

Phipps (1988)

\*Wavelength

\*Dimension

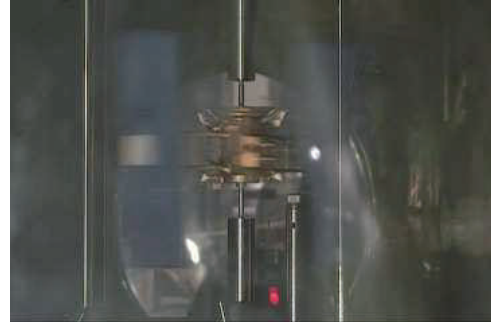
Energy/area=fluence

# Satellite Detumbling -Our Demonstration-

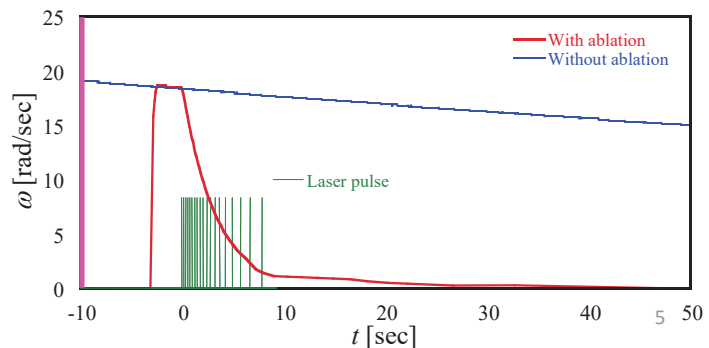
w/ laser pulses



w/o laser pulse



Ambient pressure =  $1 \times 10^{-2}$  Pa,  
Ablator: POM,  
Moment of inertia =  $1.22 \times 10^{-4}$  kgm<sup>2</sup>  
TEA CO<sub>2</sub> Laser  
-wavelength = 10.6 mm  
-pulse duration = 140 ns  
-pulse energy = 5.3 J/pulse



## Lasers for Investigation

	Nd:YAG	TEA CO <sub>2</sub>	Nd:YLF	Nd:YVO <sub>4</sub>	(Nd:YAG)
Manufacturer	Litron	SLCR-Lasertechnik	Edgewave	Edgewave	QUANTA system
Wavelength, nm	532 1064	10600	1047	1064	1064
Max. Pulse Energy, mJ	150 95(250)	9000	12	7	450
Pulsewidth, nsec	10	140	5-15	5-15	7
Beam Diameter, mm	5	55	3	25	9
Max. Repetition Rate, Hz	1	50	10000	100000	1

# Vacuum Chambers



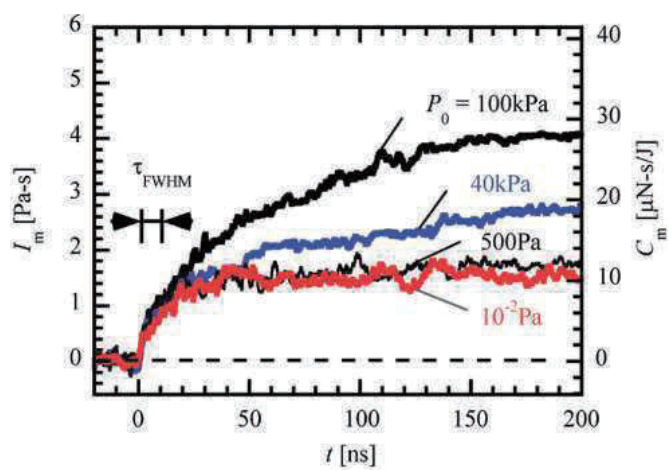
Diameter : 0.7m  
Length : 2.2m  
Pressure :  $10^{-2}$ Pa  
TMP exhaust ability : 2000l/s



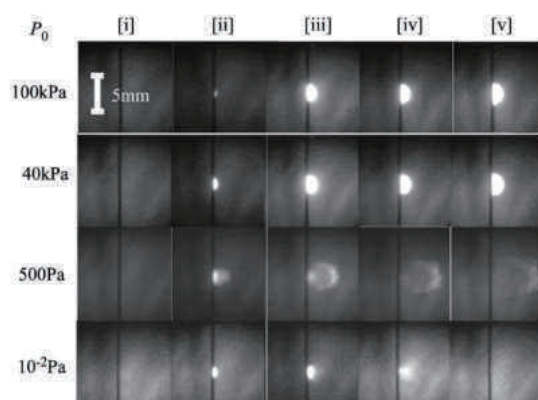
Diameter : 2m  
Length : 4m  
Pressure :  $10^{-3}$ Pa  
TMP exhaust ability : 3200l/s

7

# Time-Resolved Ablation Thrust Measurement Using VISAR



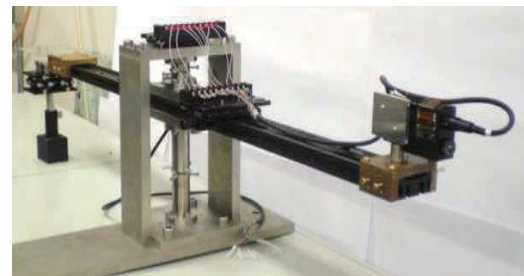
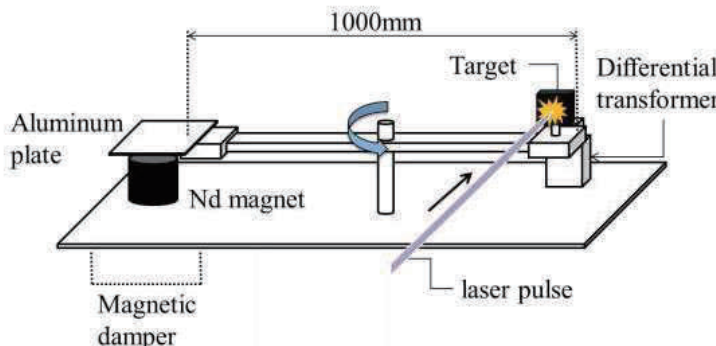
Ablator : Aluminum  
Laser : Nd:YAG  
Fluence : 14.5 J/cm<sup>2</sup>



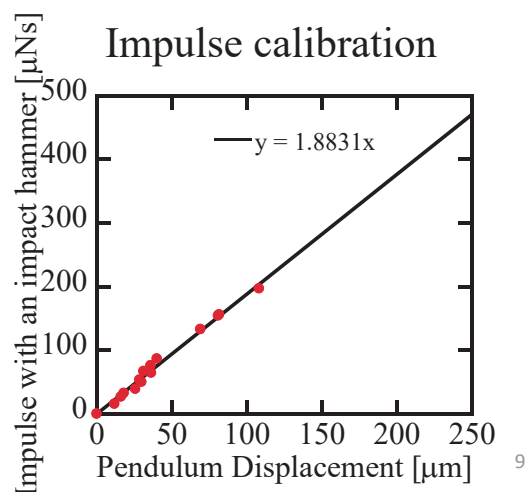
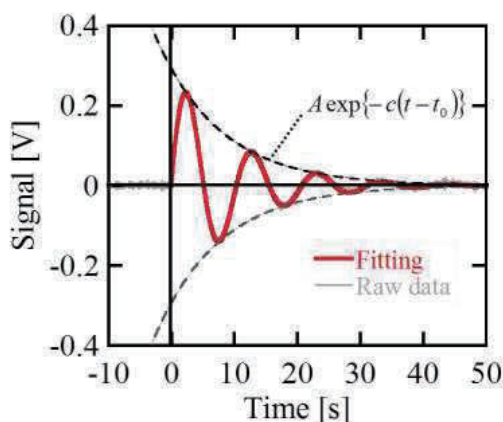
(K. Anju et al. J. Propulsion & Power, 2008)

8

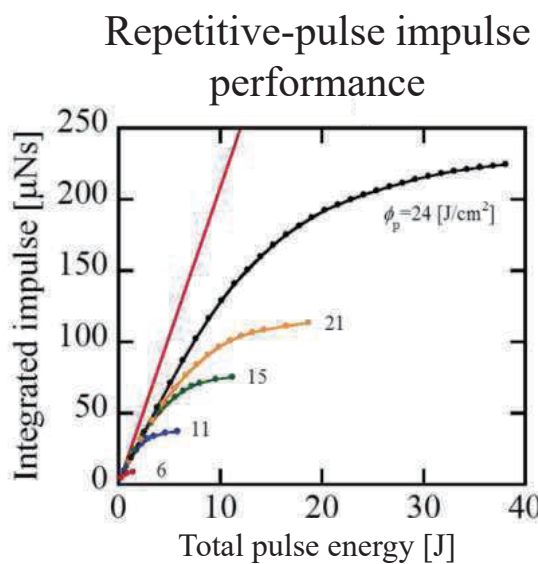
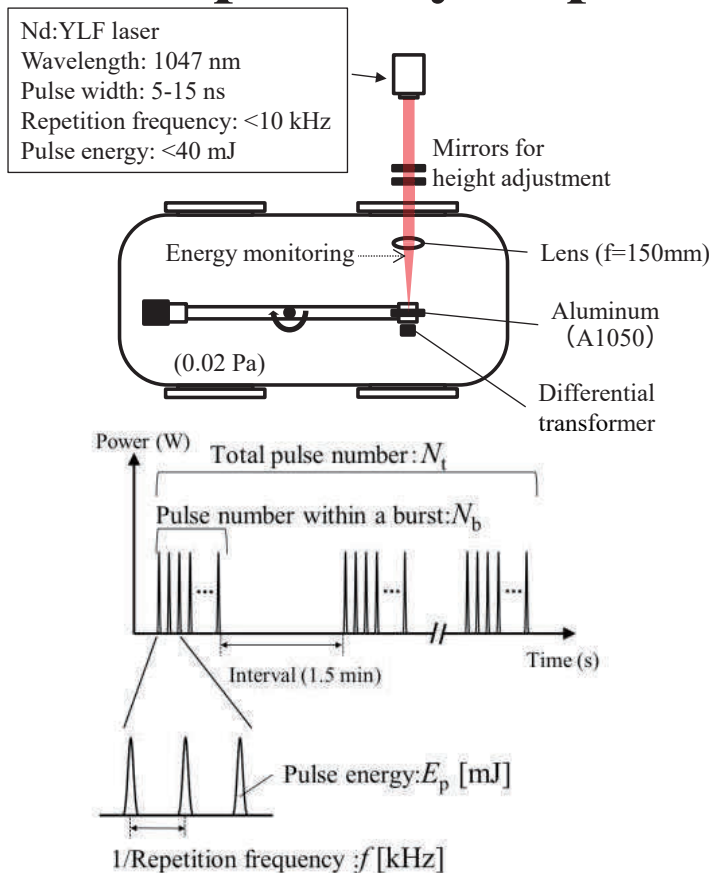
# Torsion-Type Impulse Stand



Displacement of impulse stand



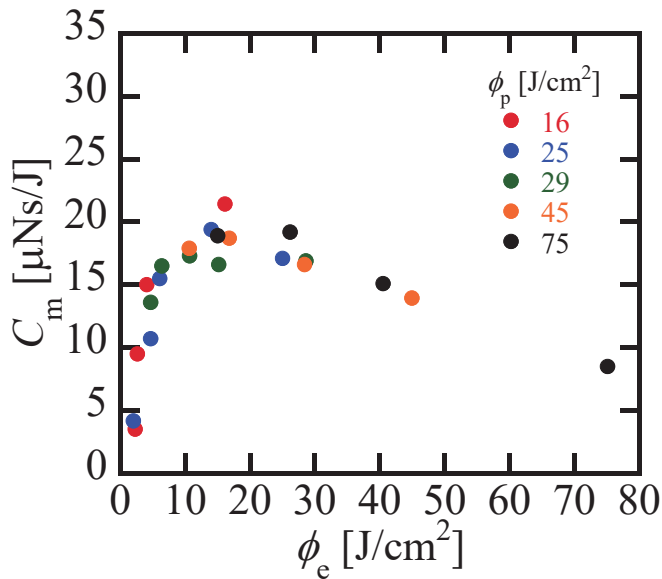
# Impulse by Repetitive Laser Pulses



Ablator : Aluminum  
Laser : Nd:YLF  
Repetitive frequency : 1 kHz

(H. Tsuruta et al. J. Propulsion & Power, 2014)

# $C_m$ Dependence on Effective Fluence $\phi_e$

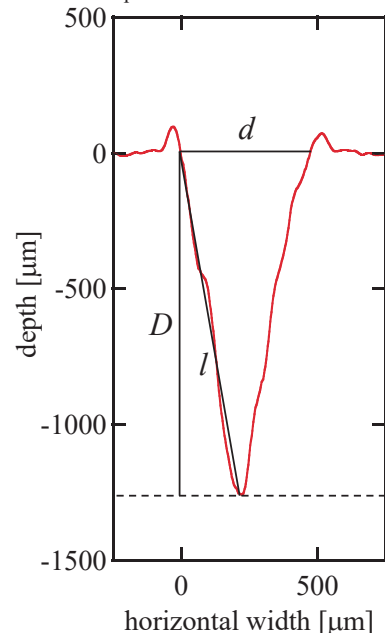


Nd:YAG laser

Ambient pressure:  $2 \times 10^{-2}$  Pa

laser spot diameter:  $7.5 \times 10^2$  μm

Example of crater profile cross-section,  
 $N_t = 100$ ,  $\phi_p = 25$  J/cm<sup>2</sup>.



$$\text{Effective fluence } \phi_e = \phi_p \frac{1}{\sqrt{4\alpha^2 + 1}} \quad \alpha_{11} = \frac{D}{d}$$

## Summary

We have facilities for experimentally evaluation of laser pulse ablation impulse, which should be applied to in-space motion control of debris.

